

Fig. 2C LNCaP

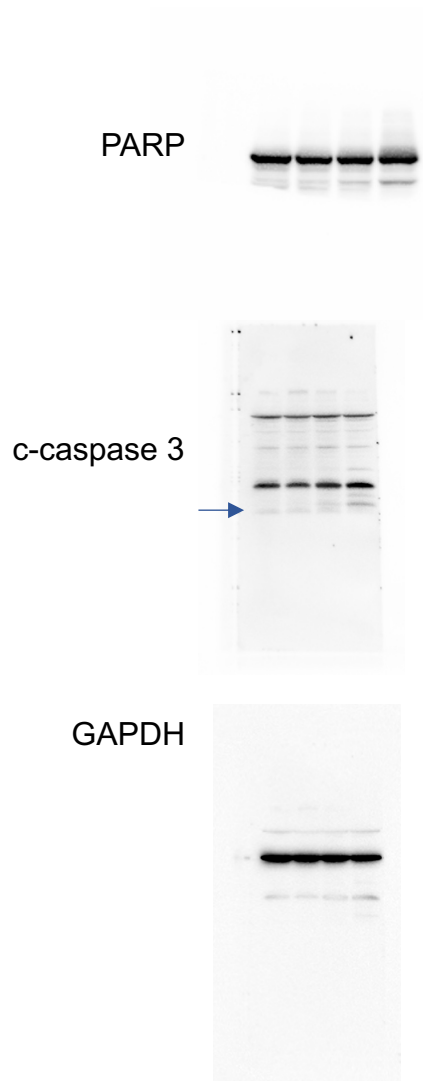


Fig. 2C C4-2

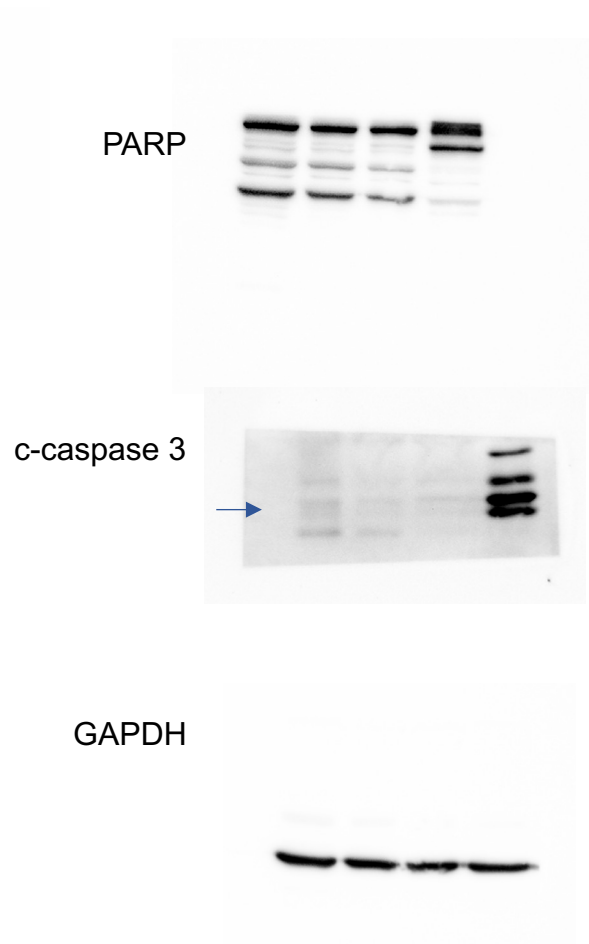


Fig. 2C 22RV1

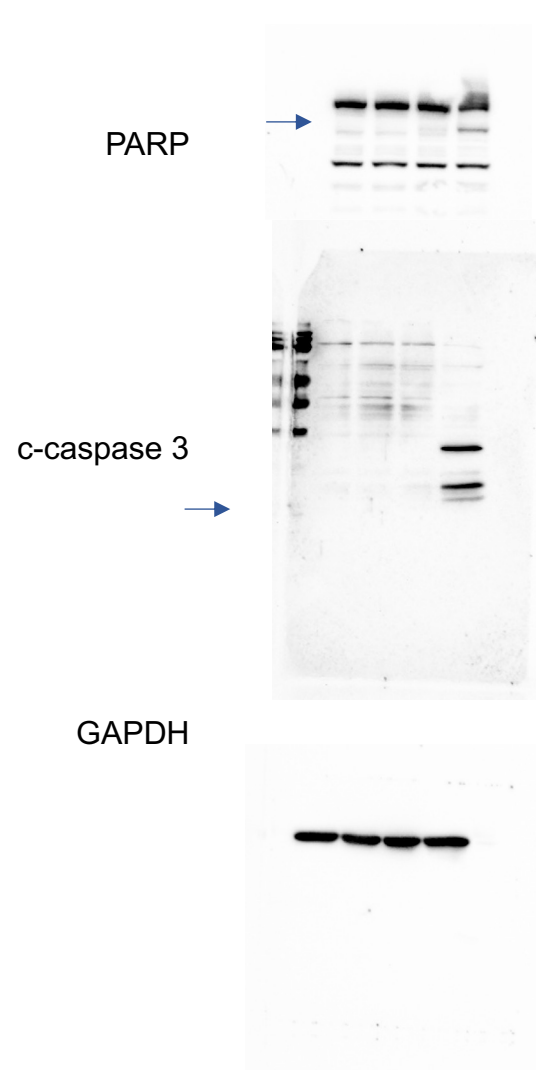


Fig. 2E LNCaP

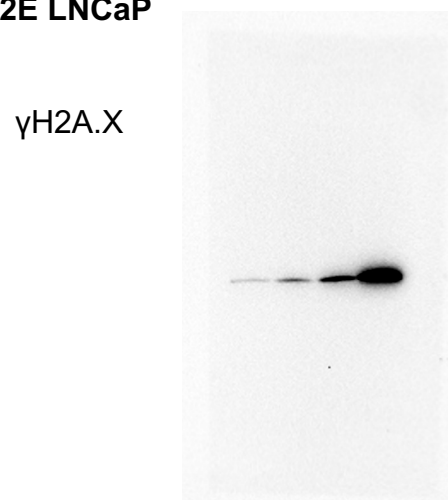


Fig. 2E C4-2

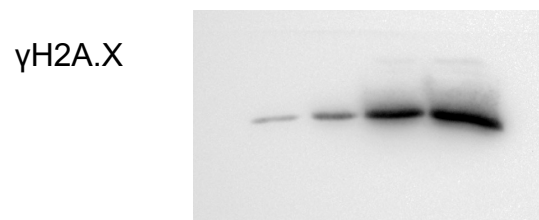
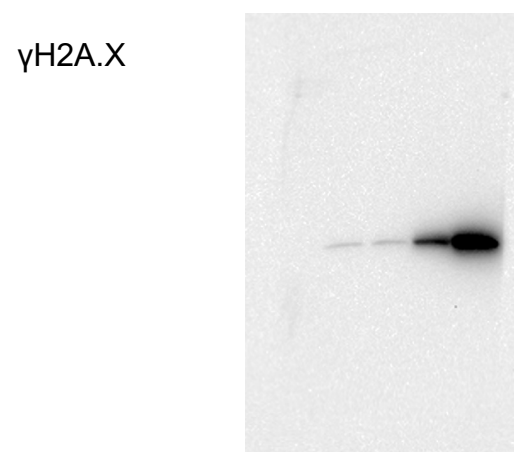


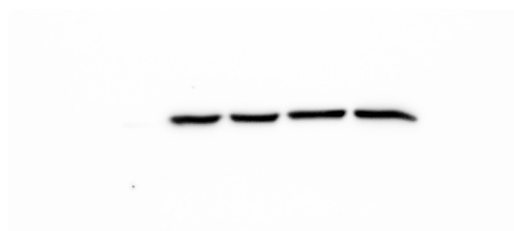
Fig. 2E 22RV1



GAPDH



GAPDH



GAPDH



Fig. 3A LNCaP

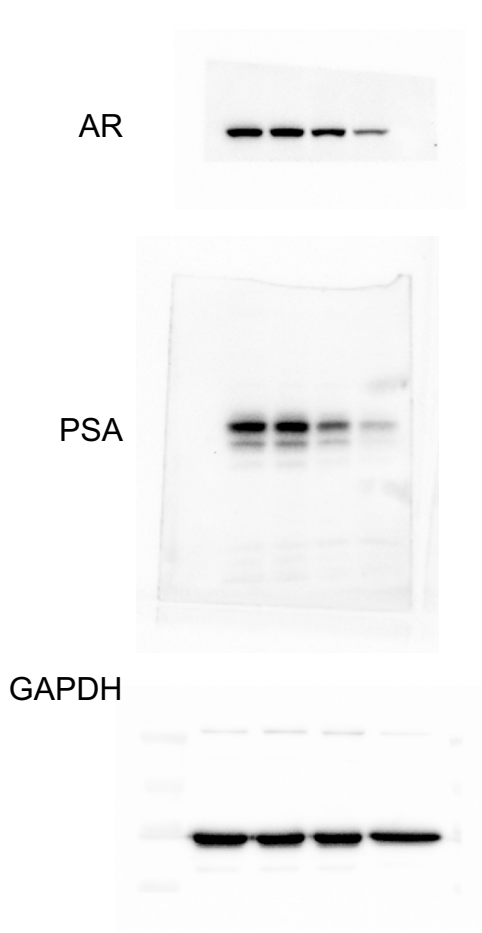


Fig. 3A C4-2

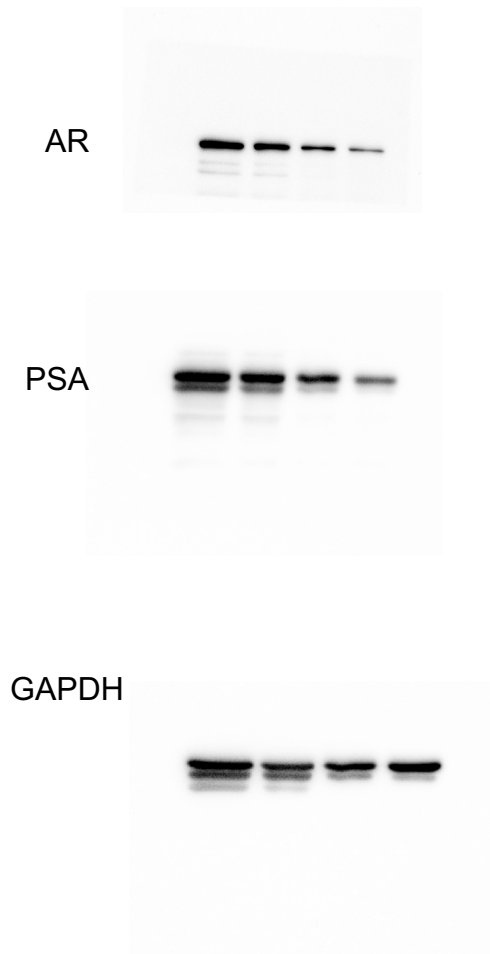


Fig. 3F LNCaP

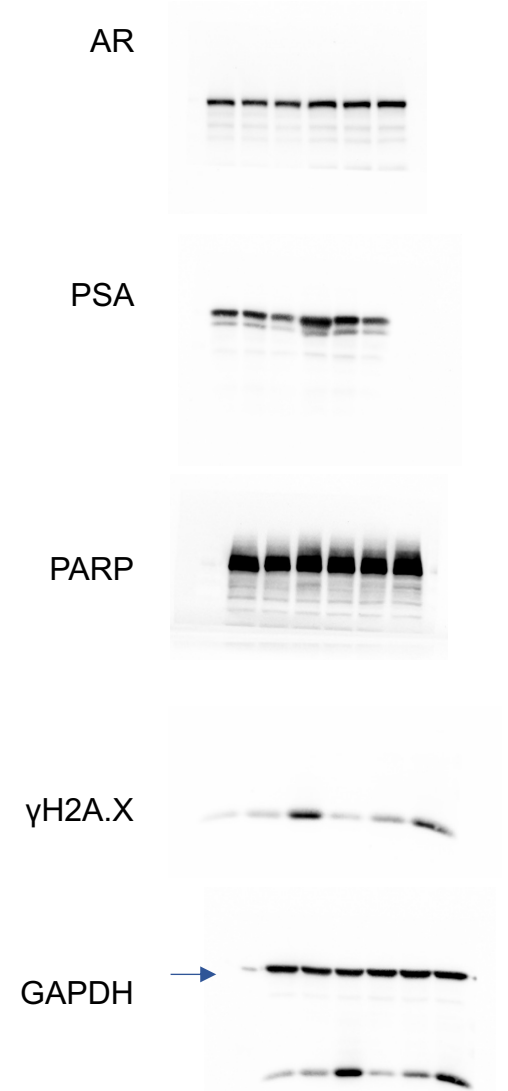


Fig. 3E LN95

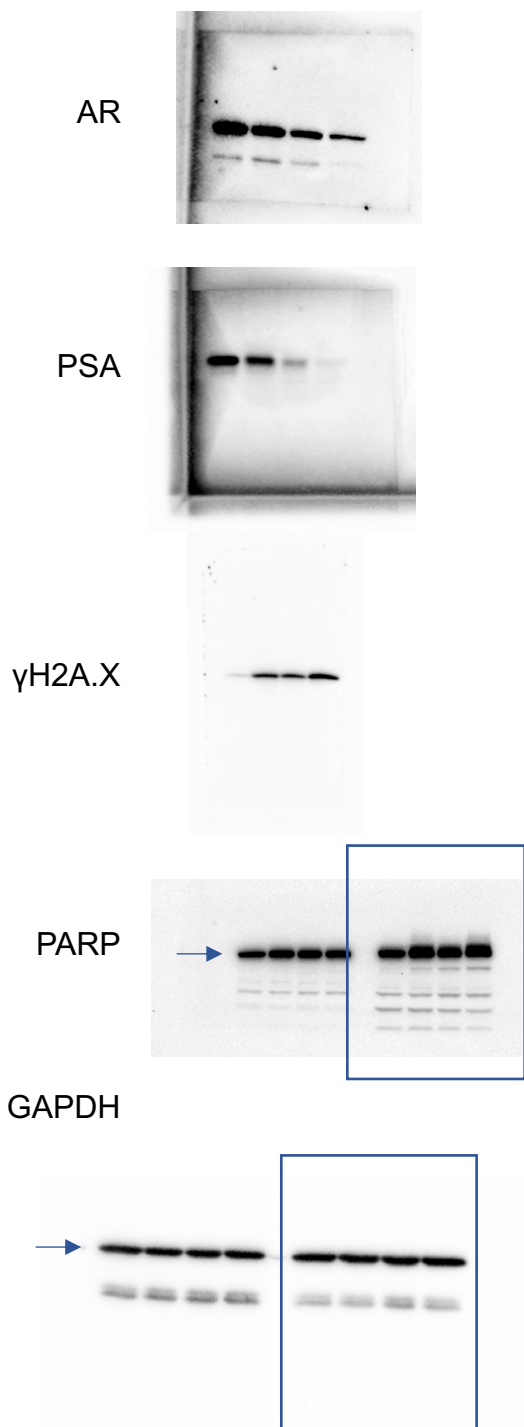


Fig. 3E VCaP

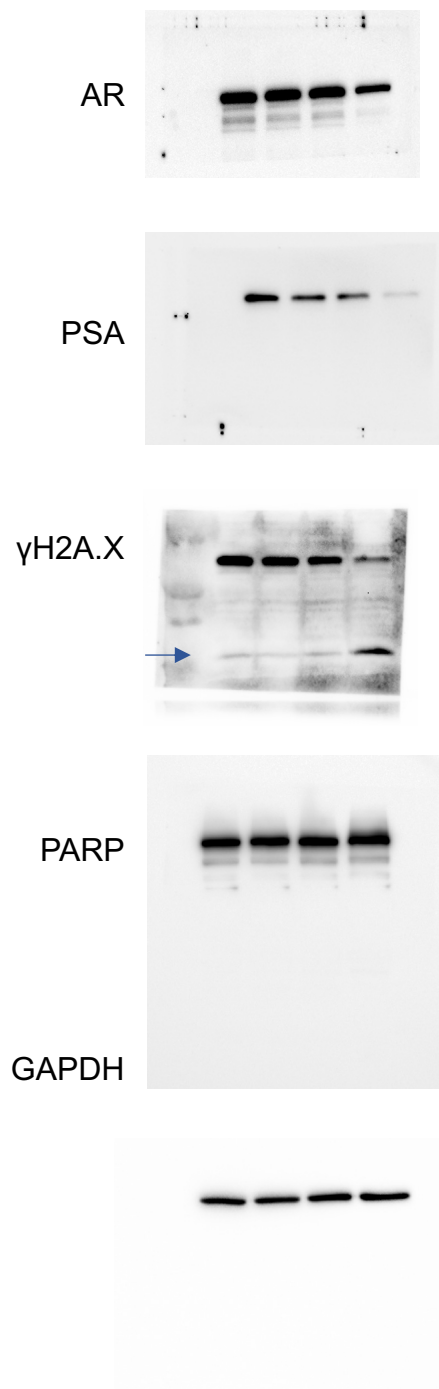


Fig. 3F C4-2

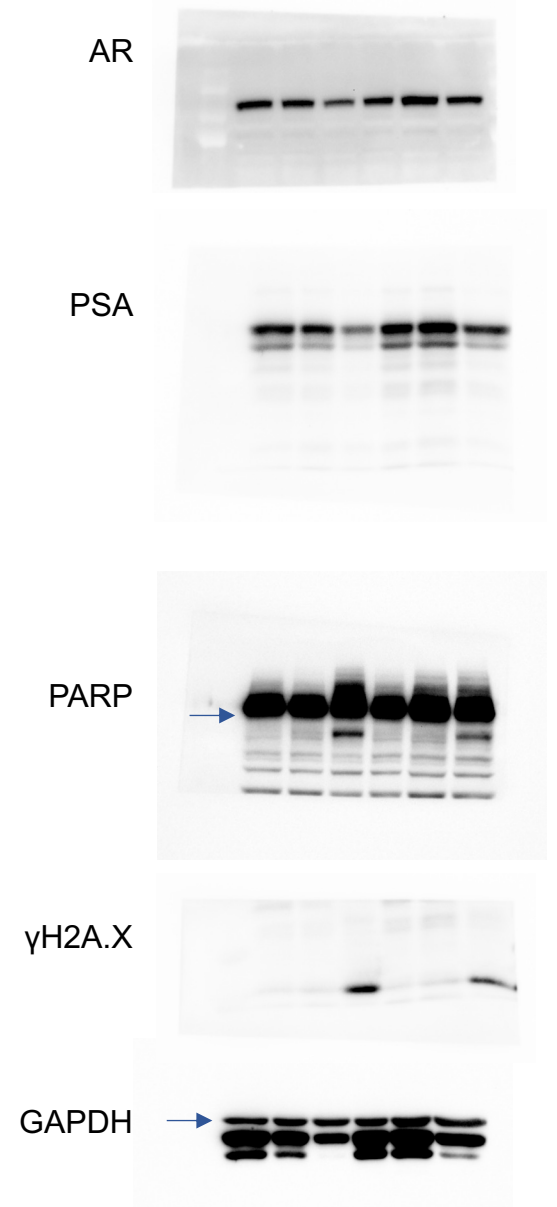


Fig. 4E C4-2

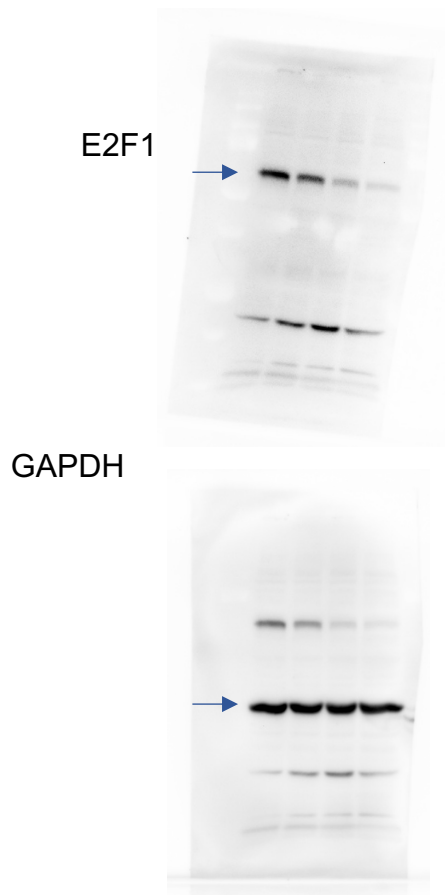


Fig. 4E 22RV1

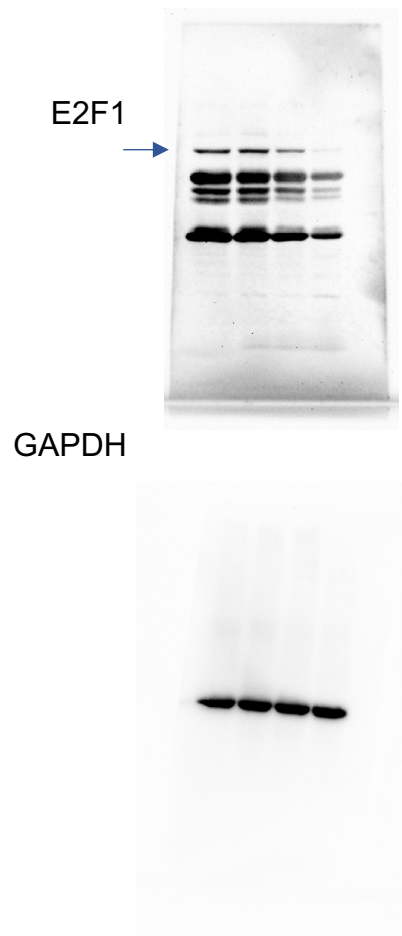


Fig. 4G C4-2

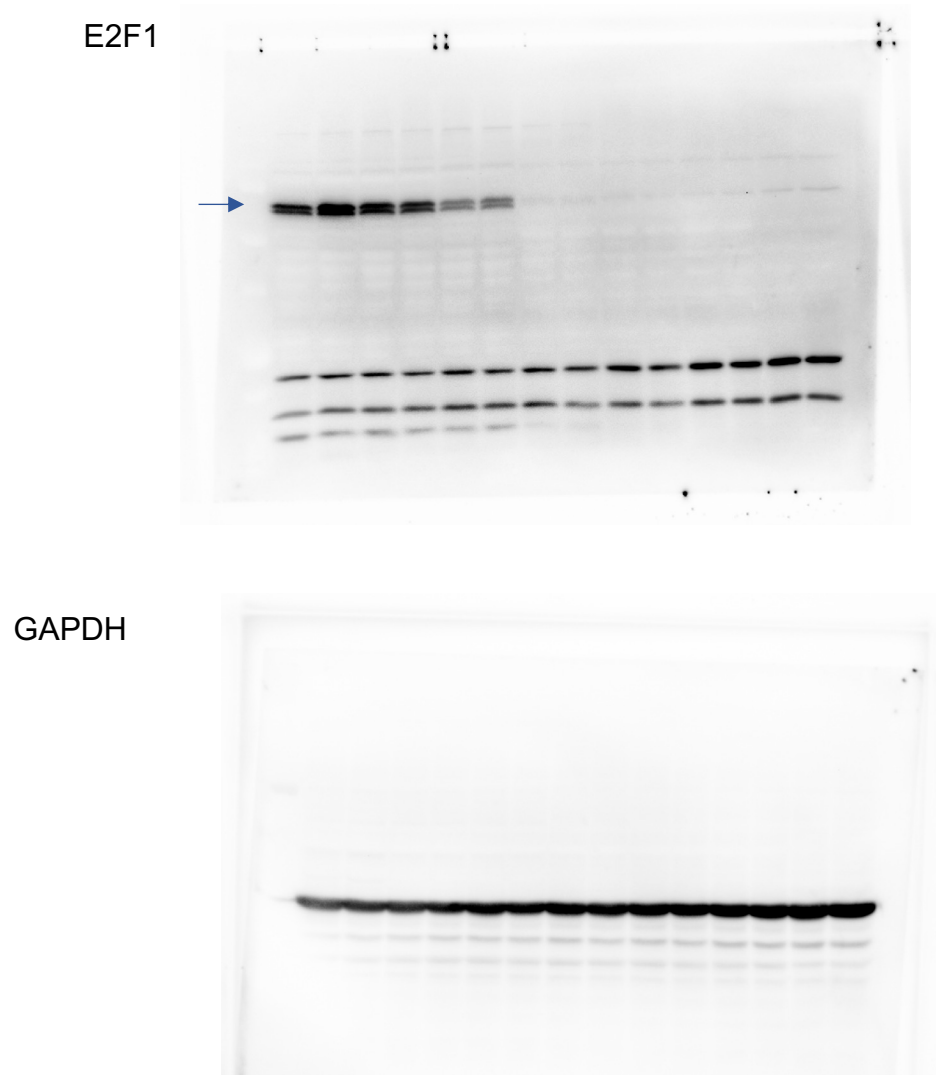


Fig. 5C LNCaP

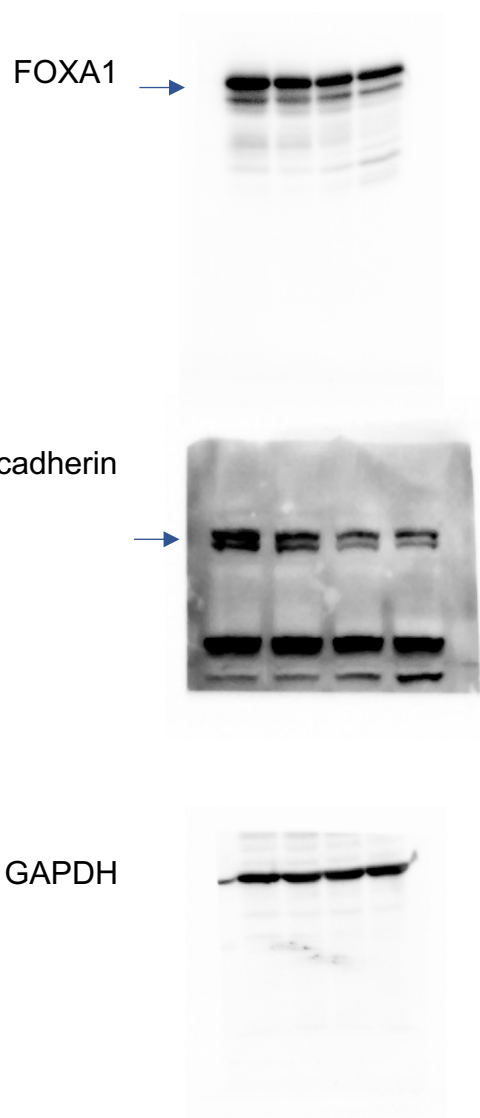


Fig. 5C C4-2

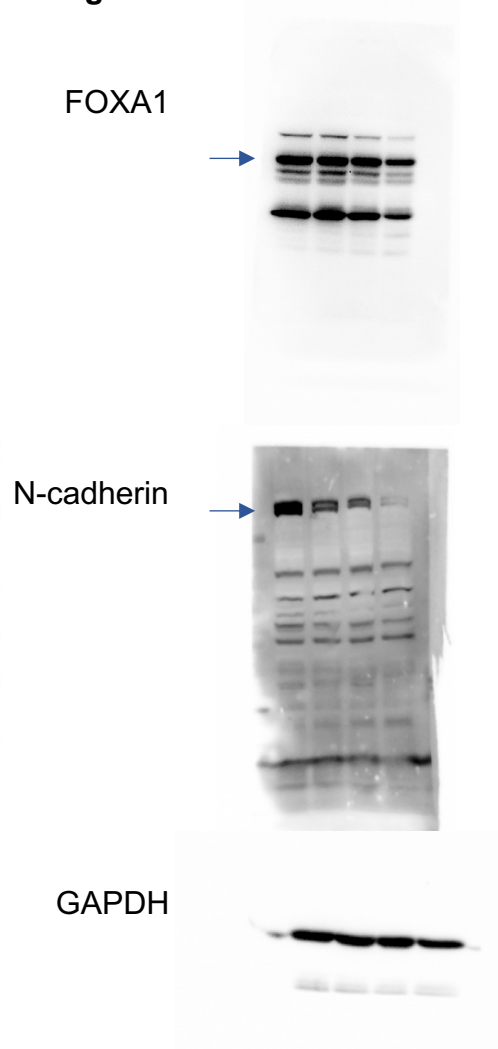


Fig. 5G LNCaP

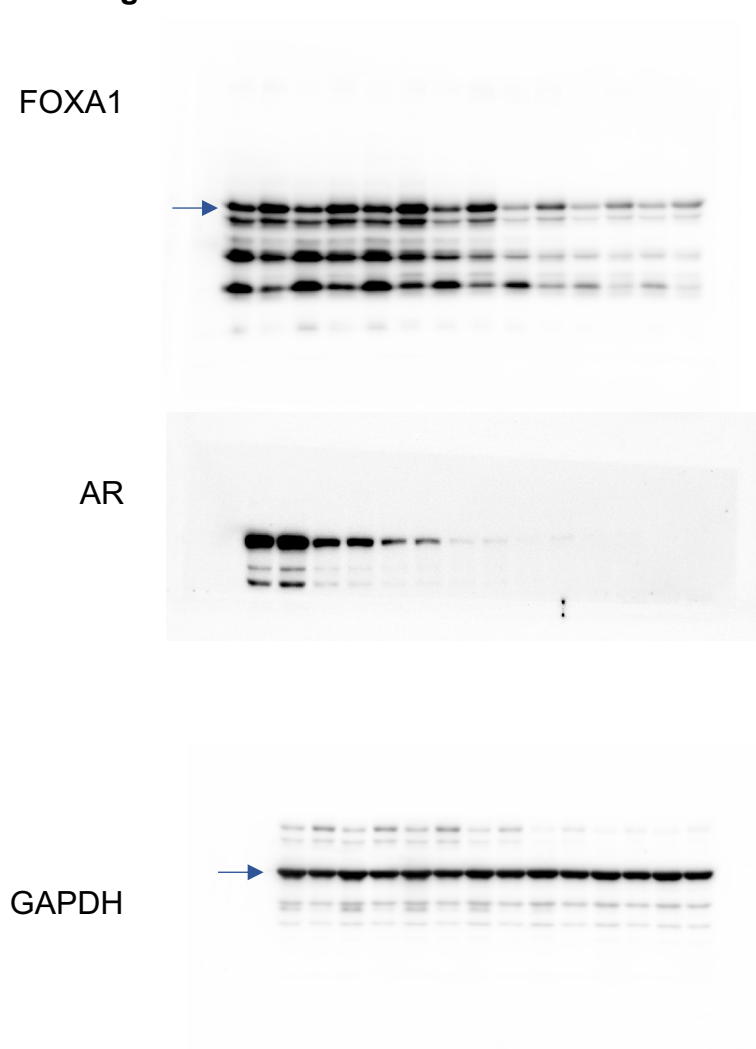


Fig. 5H C4-2

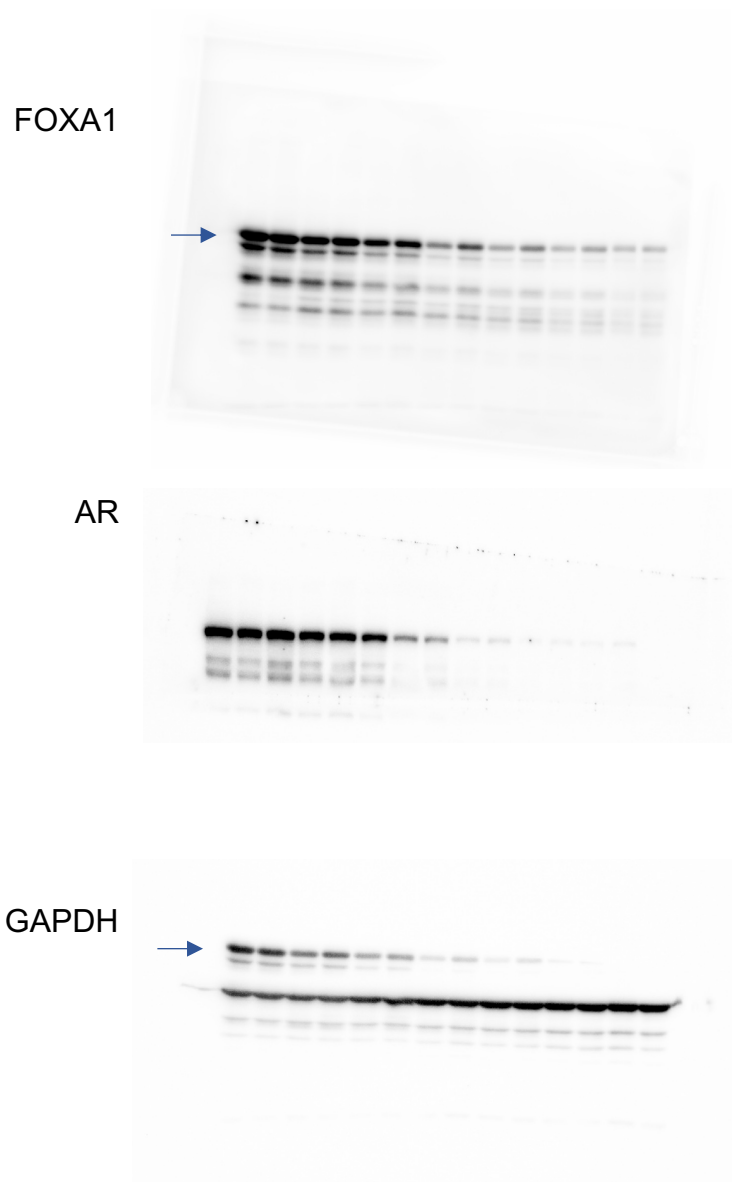


Fig. 5I 22RV1

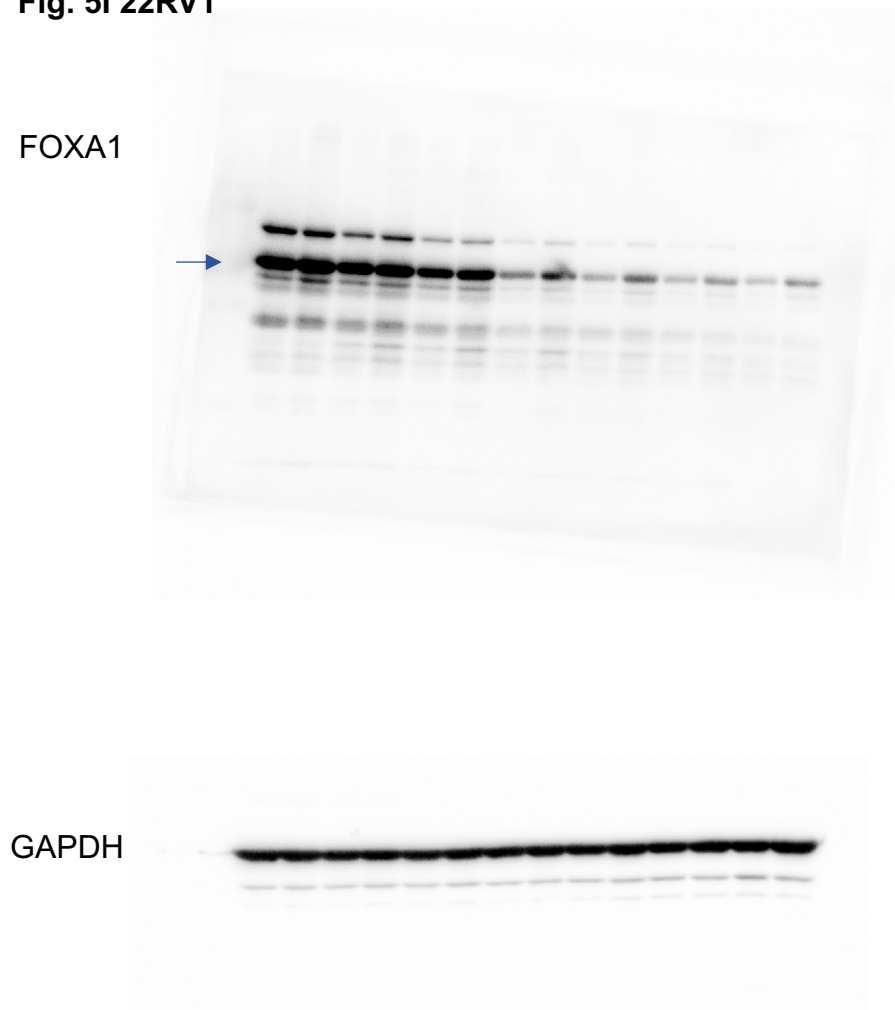


Fig. 6D LNCaP

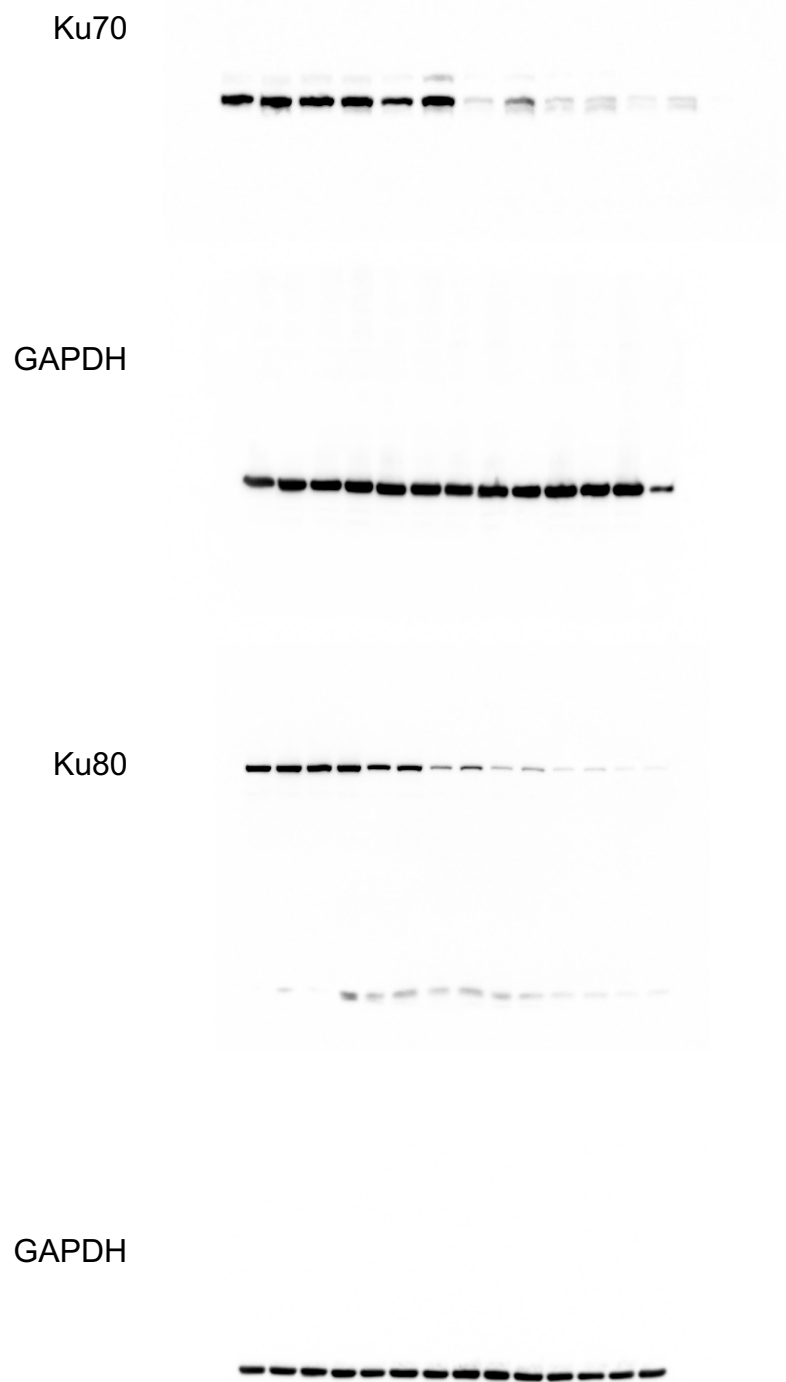


Fig. 6E C4-2

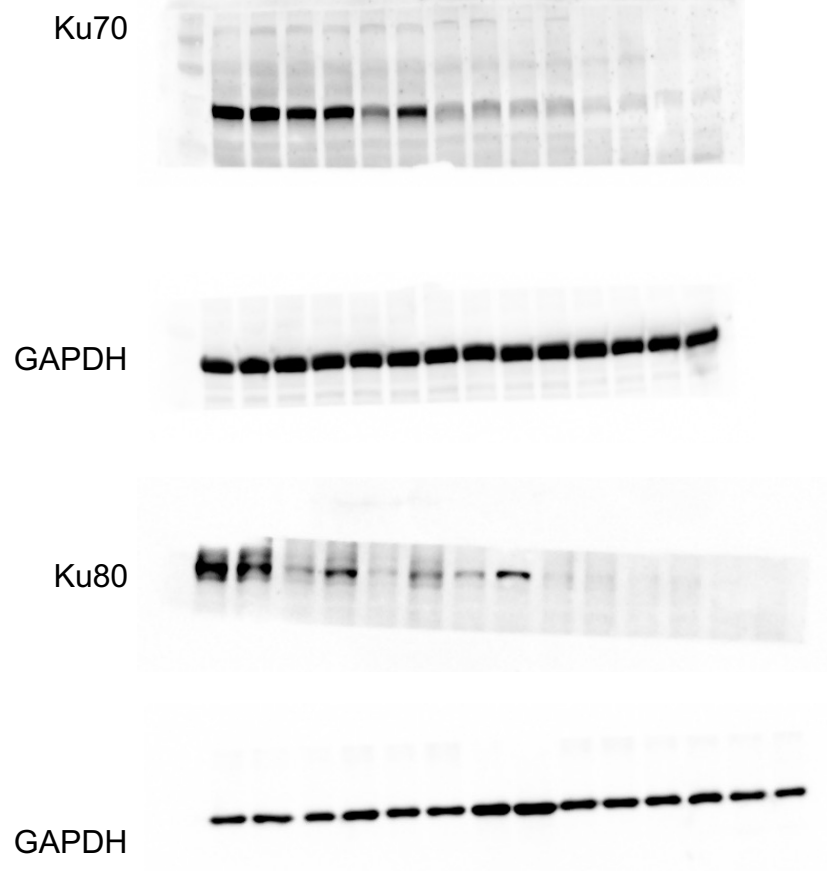


Fig. 7B C4-2

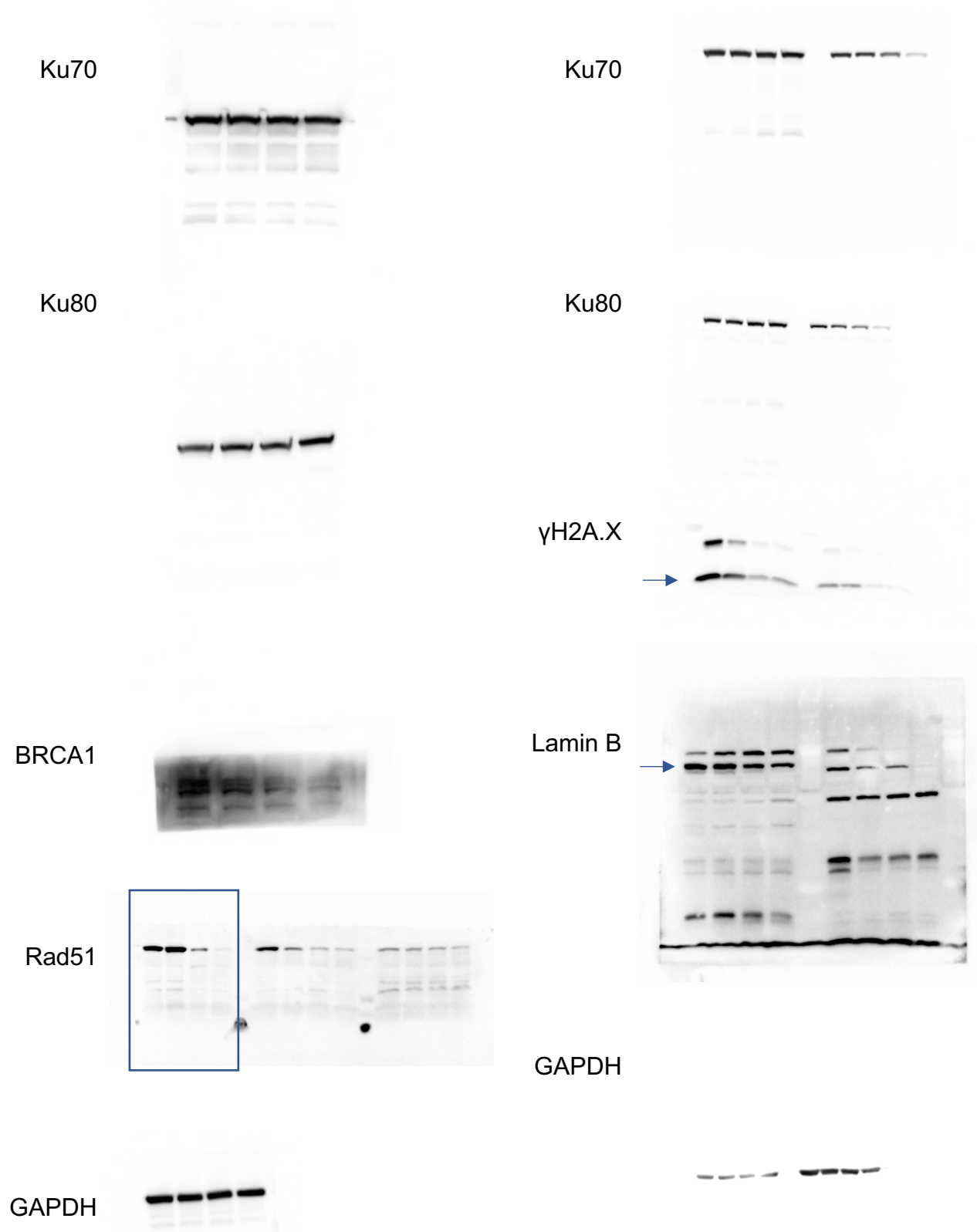


Fig. 7C 22RV1

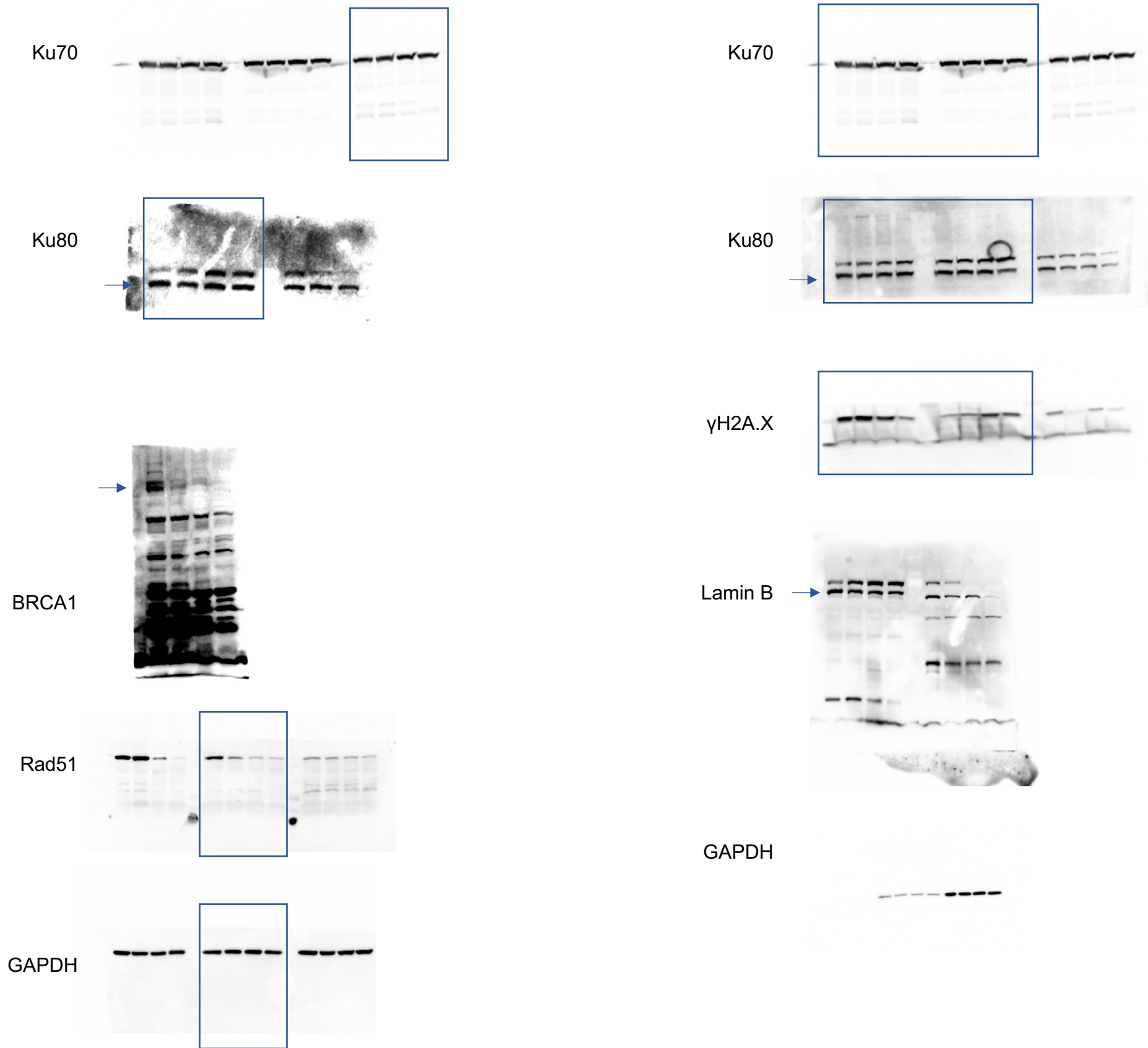


Fig. S3B DU145

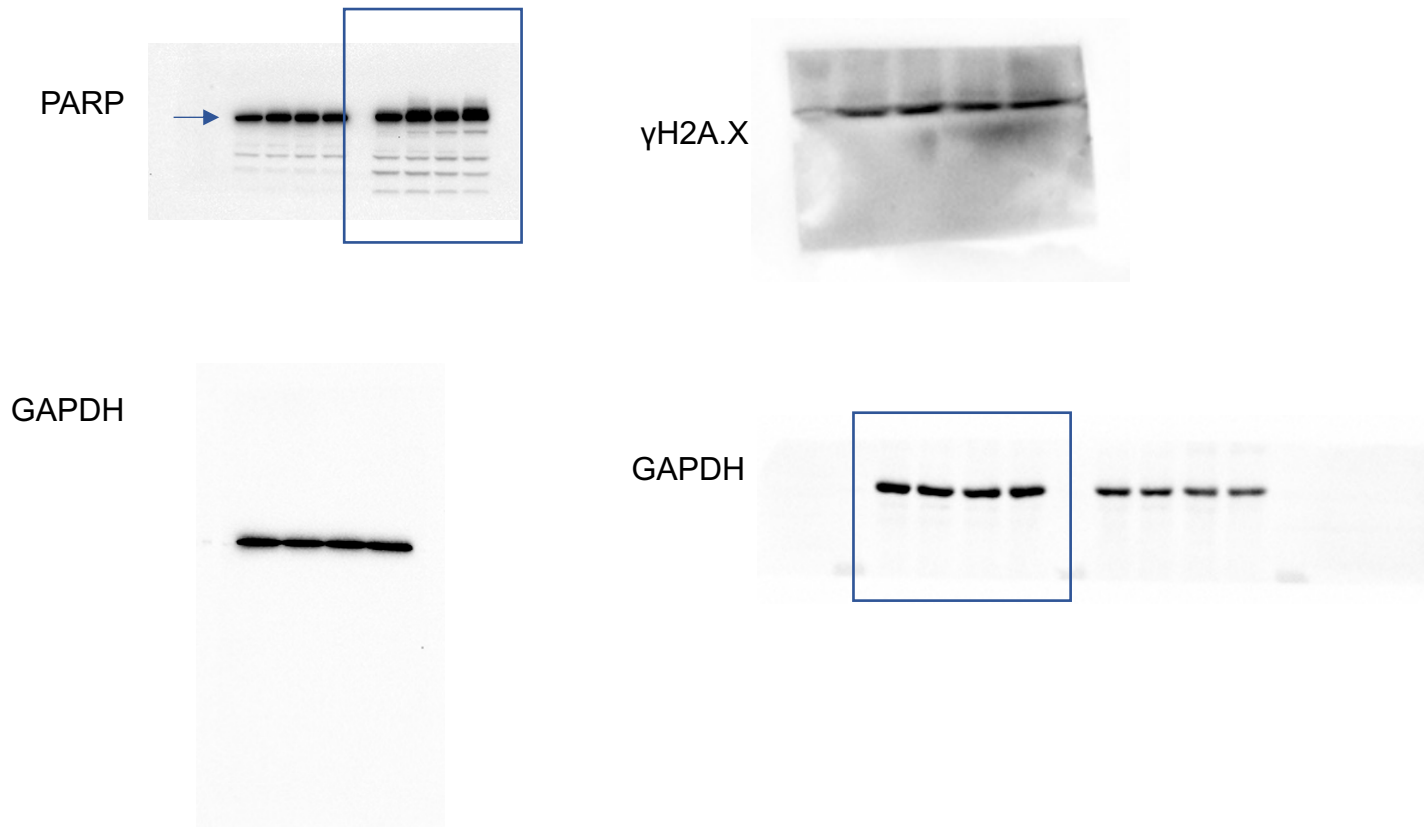


Fig. S3E PC-3

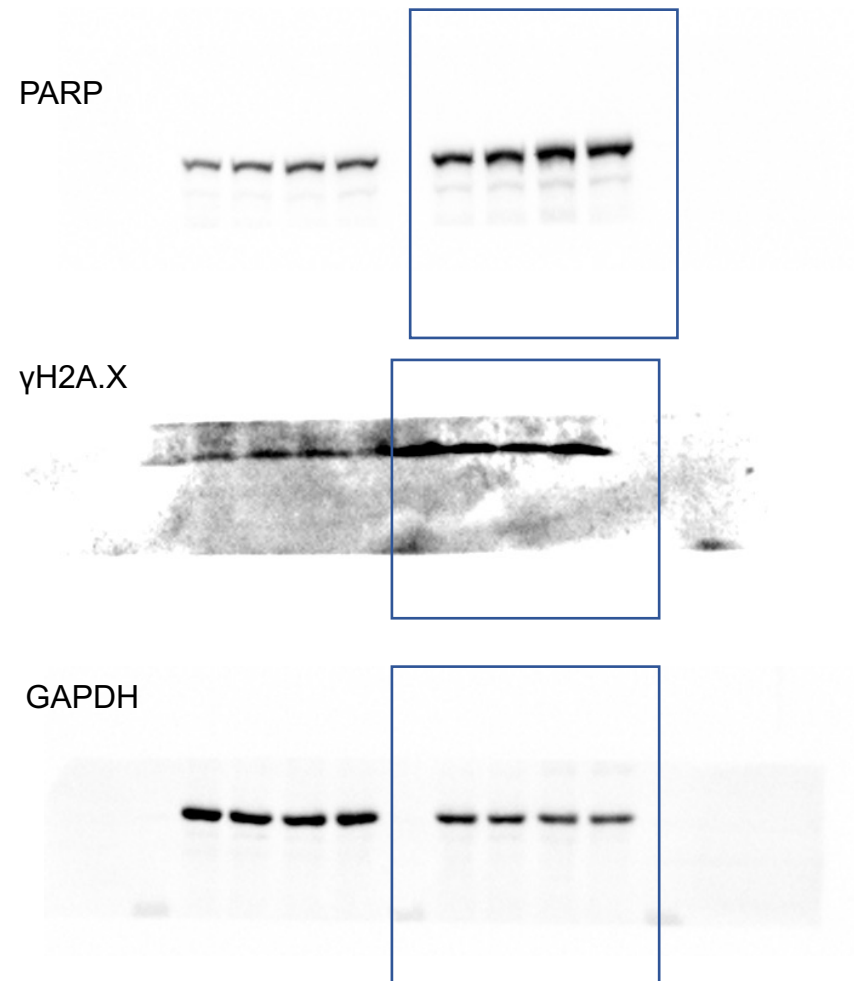


Fig. S3F 22RV1 xenograft model

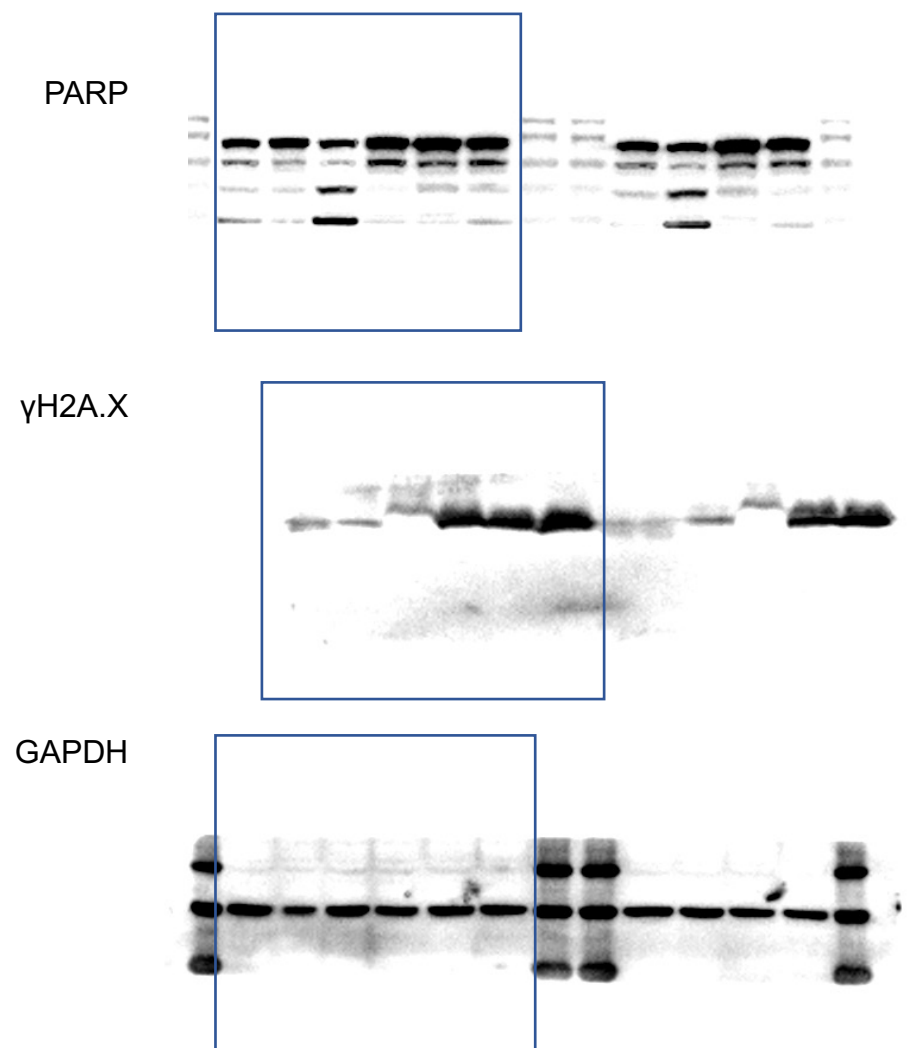
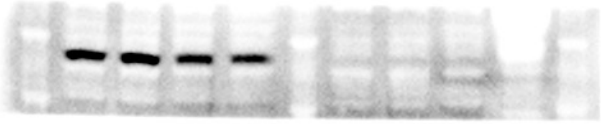
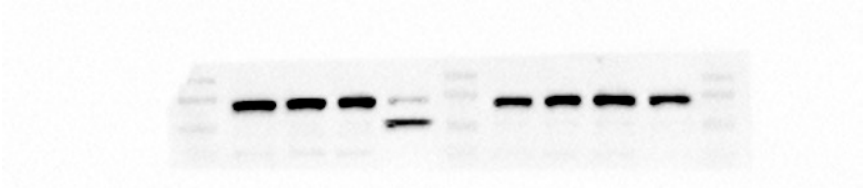


Fig. S6D C4-2

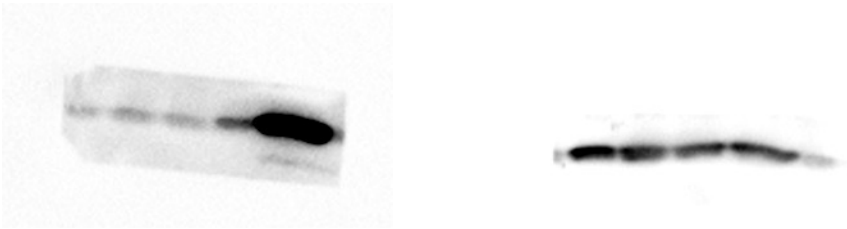
FOXA1



PARP



γ H2A.X



GAPDH

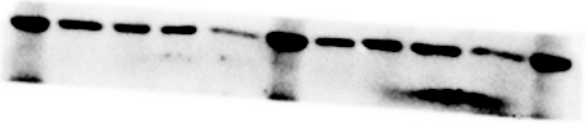
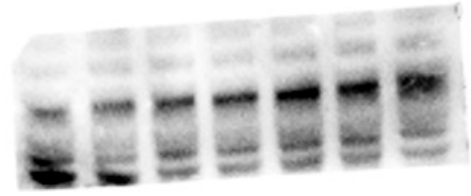


Fig. S6E LNCaP

FOXA1



GAPDH

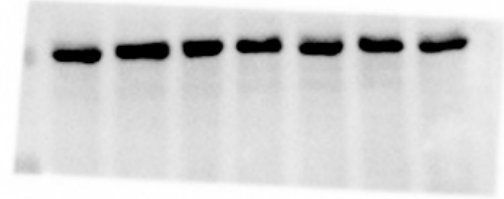
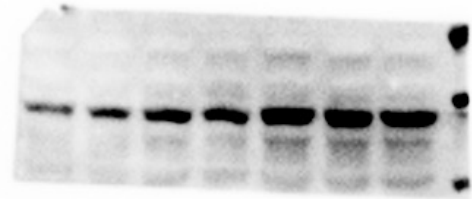


Fig. S6E 22RV1

FOXA1



GAPDH

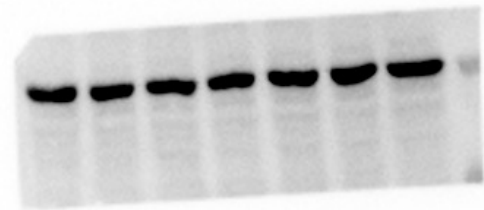


Fig. S7A 22RV1

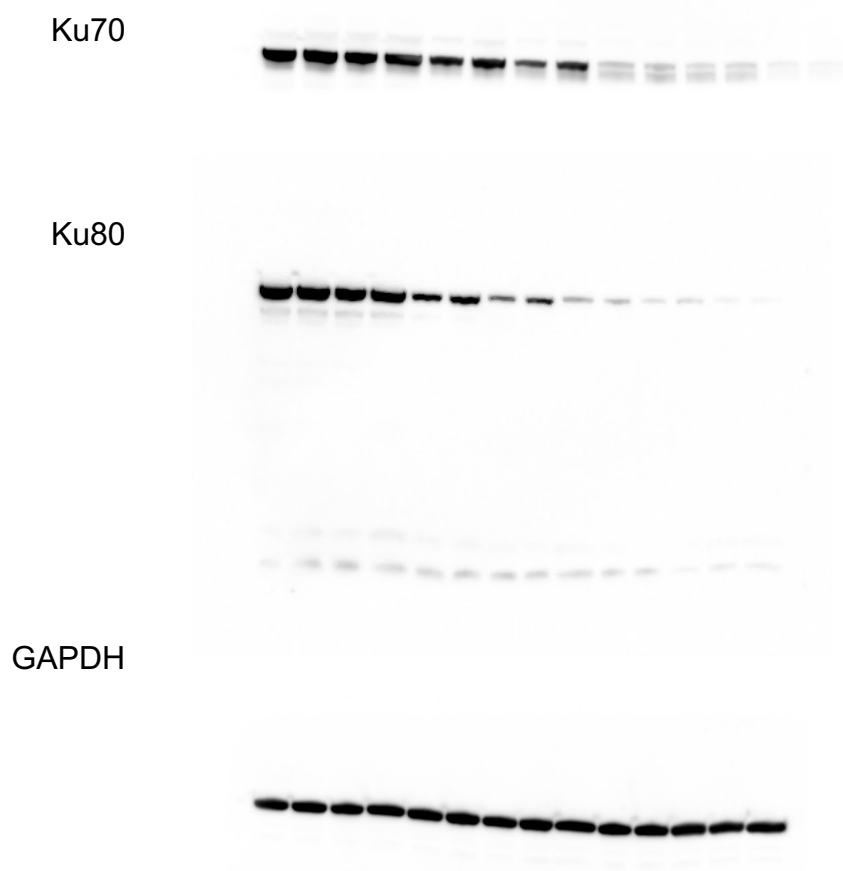


Fig. S7B LNCaP

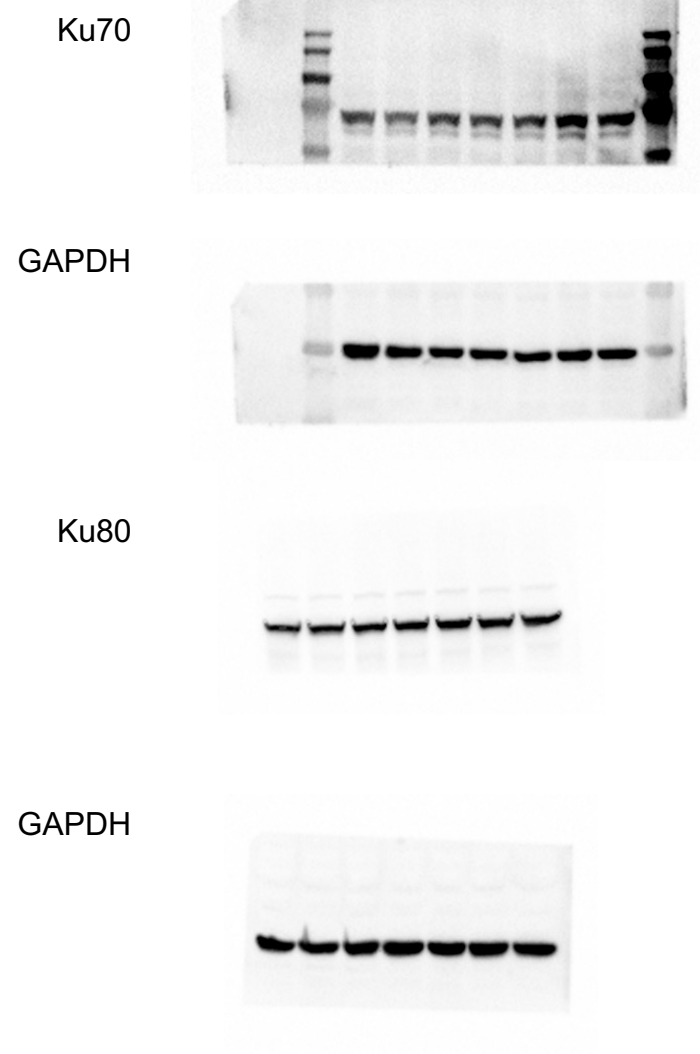


Fig. S7C 22RV1

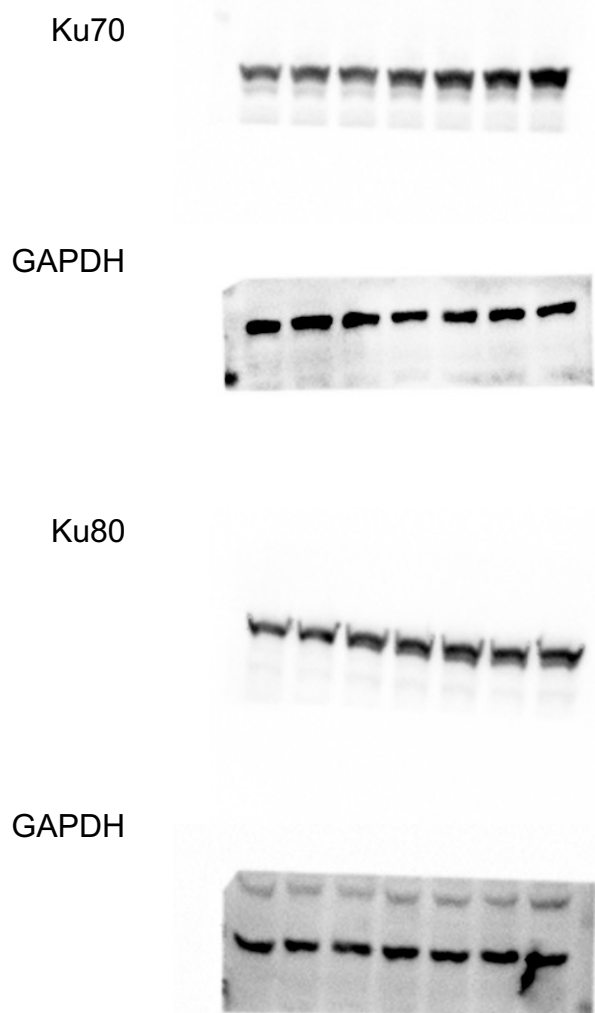


Fig. S8B C4-2

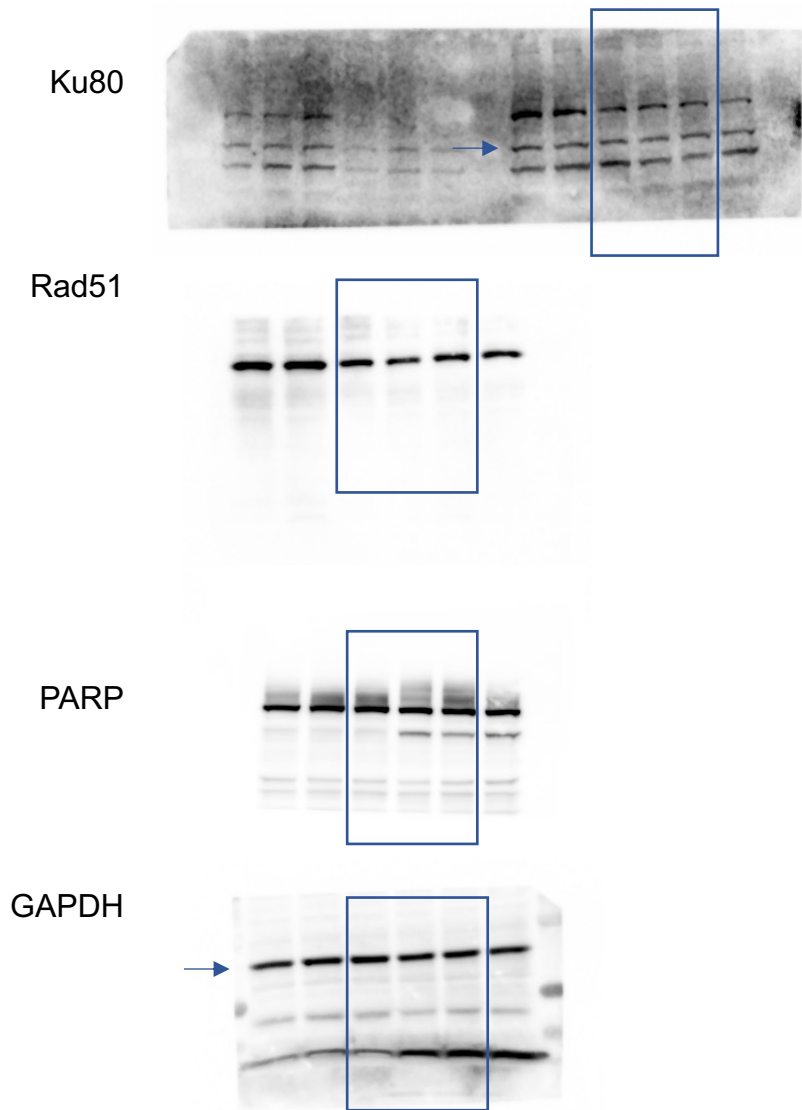


Fig. S8C C4-2

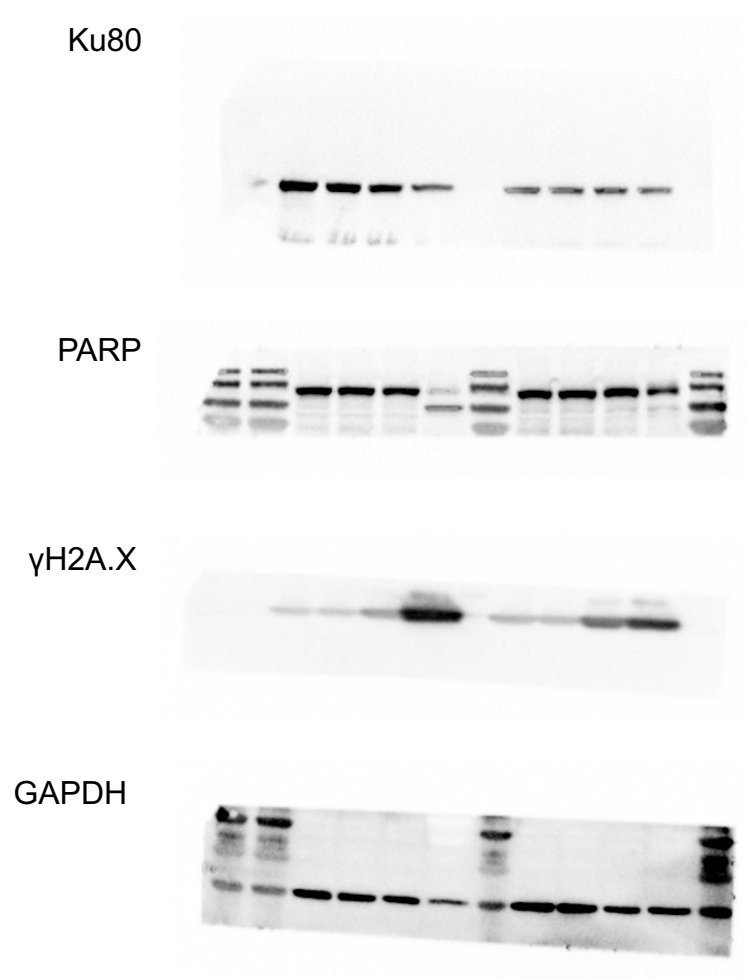


Fig. S8D DU145

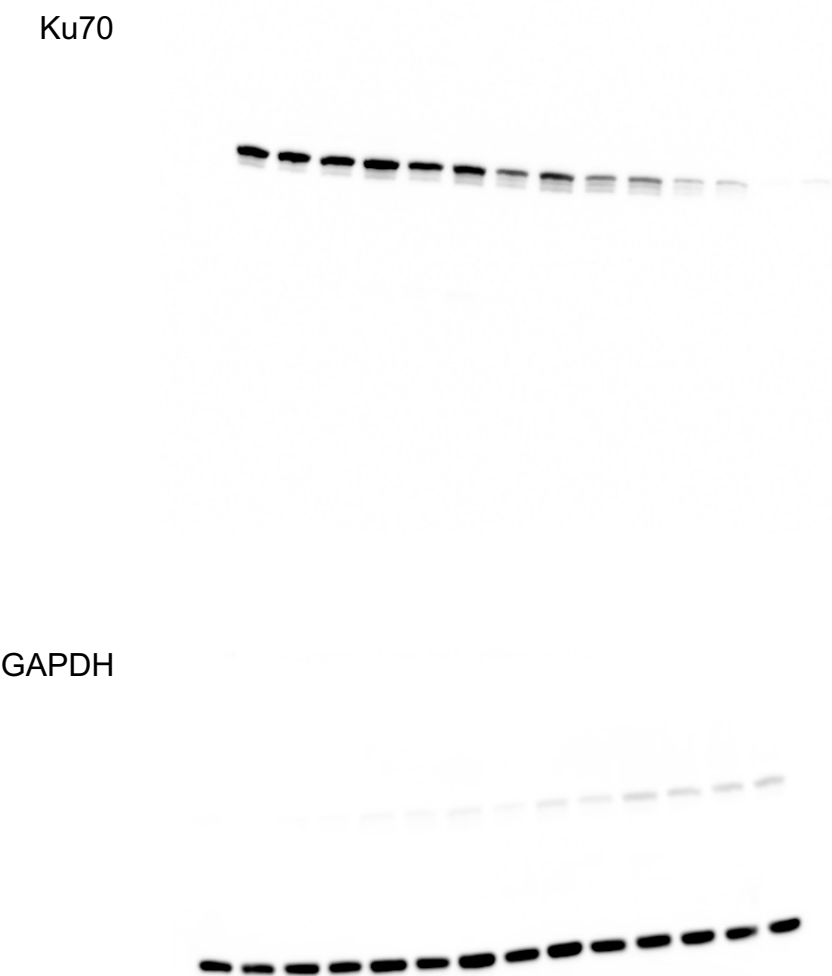


Fig. S8E DU145

